

## Светоиндуцированный атомный лифт в оптических решетках

С. В. Пранц<sup>1)</sup>

Тихоокеанский океанологический институт Дальневосточного отделения РАН, 690041 Владивосток, Россия

Поступила в редакцию 29 сентября 2016 г.

После переработки 11 октября 2016 г.

Показано, как создать атомный лифт, способный поднимать падающие холодные атомы в вертикальной оптической решетке. Эффект возникает вблизи резонанса благодаря нелинейному взаимодействию электронной и механической степеней свободы атома, порождающему его хаотическое блуждание в жестких оптических решетках без какой-либо модуляции и дополнительного воздействия. Численные эксперименты с учетом спонтанного излучения демонстрируют возможность наблюдения в реальном эксперименте хаотического блуждания атомов и светоиндуцированного атомного лифта.

DOI: 10.7868/S0370274X16230028

Нейтральный атом, помещенный в стоячую световую волну, испытывает действие диссипативной и градиентной сил [1, 2]. Эти силы позволяют манипулировать атомами с помощью лазерного света, охлаждая и пленяя их, и лежат в основе множества применений. Конденсаты Бозе–Эйнштейна, атомные часы и интерферометры, атомные лазеры и квантовые компьютеры, разделение изотопов, нанолитография – вот далеко не полный перечень этих применений. Искусство формирования 1D, 2D и 3D оптических решеток с помощью встречных лазерных пучков позволяет создавать оптические потенциалы заданной формы и размерности [3, 4]. Атомы в таких решетках находятся в поле нелинейного оптического потенциала, глубина которого определяется интенсивностью лазерного света. Были экспериментально обнаружены разные проявления квантового хаоса с холодными атомами [5–8] и предсказаны различные нелинейные эффекты взаимодействия атомов со светом, включая хаотические осцилляции Раби [9–11], хаотический транспорт атомов [12–14] и динамические атомные фракталы [15, 16] в 1D решетках, а также атомный хаос в 2D- и 3D-решетках [17, 18].

Пусть охлажденные атомы из ловушки падают вдоль оси вертикальной оптической 1D решетки, сформированной встречными лазерными пучками света с длиной волны  $\lambda_f$  и частотой  $\omega_f$ . Гамильтониан двухуровневого атома в системе отсчета, вращающейся с частотой  $\omega_f$ , и в предположении, что сила тяжести действует в отрицательном направлении оси решетки, имеет вид

$$\hat{H} = \frac{P^2}{2m_a} + \frac{\hbar}{2}(\omega_a - \omega_f)\hat{\sigma}_z - \hbar\Omega(\hat{\sigma}_- + \hat{\sigma}_+)\cos k_f X + FX - \frac{i\hbar\Gamma}{2}\hat{\sigma}_+\hat{\sigma}_+, \quad (1)$$

где  $m_a$  – масса атома,  $\hat{\sigma}_{\pm,z}$  – операторы Паули для электронной степени свободы атома,  $P$  и  $X$  – его импульс и положение,  $\omega_a$  и  $\Omega$  – частота рабочего перехода атома и амплитудное значение частоты Раби,  $F$  – гравитационная сила,  $\hbar$  – постоянная Планка,  $\Gamma$  – коэффициент релаксации. Движение не слишком холодных атомов можно рассматривать в полуклассическом приближении, в котором квантуется электронная степень свободы атома, а его движение считается классическим.

Волновая функция электронной степени свободы имеет вид  $|\Psi(t)\rangle = a(t)|2\rangle + b(t)|1\rangle$ , где  $a \equiv A + i\alpha$  и  $b \equiv B + i\beta$  – комплекснозначные амплитуды вероятности обнаружить атом в возбужденном  $|2\rangle$  и основном,  $|1\rangle$ , состояниях. Уравнения движения для вещественных и мнимых частей этих амплитуд и для положения и импульса точечного атома имеют вид

$$\begin{aligned} \dot{A} &= \frac{1}{2}(\omega_r p^2 - \Delta)\alpha - \frac{1}{2}\gamma A - \beta \cos x, \\ \dot{\alpha} &= -\frac{1}{2}(\omega_r p^2 - \Delta)A - \frac{1}{2}\gamma\alpha + B \cos x, \\ \dot{B} &= \frac{1}{2}(\omega_r p^2 + \Delta)\beta - \alpha \cos x, \\ \dot{\beta} &= -\frac{1}{2}(\omega_r p^2 + \Delta)B + A \cos x, \\ \dot{x} &= \omega_r p, \quad \dot{p} = -2(AB + \alpha\beta) \sin x - \kappa, \end{aligned} \quad (2)$$

где  $x \equiv k_f X$ ,  $p \equiv P/\hbar k_f$ , дифференцирование ведется по безразмерному времени  $\tau \equiv \Omega t$ . Уравнения (2) содержат несколько нормированных управляющих параметров:  $\omega_r \equiv \hbar k_f^2/m_a \Omega$  – частота отдачи атома,  $\kappa \equiv F/\hbar k_f \Omega$  – сила тяжести,  $\Delta \equiv (\omega_f - \omega_a)/\Omega$  –

<sup>1)</sup>e-mail: prants@poi.dvo.ru

расстройка резонанса,  $\gamma \equiv \Gamma/\Omega$  – скорость распада возбужденного уровня атома.

Теперь можно сформулировать условие применимости классического описания трансляционной степени свободы атомов. Нормированный импульс атома представим в виде  $p \equiv P/\hbar k_f = v_a/v_r$ , где  $v_a$  – скорость атома, а  $v_r \equiv \hbar k_f/m_a$  – скорость, приобретаемая атомом в результате отдачи при испускании или поглощении фотона. Классическое описание справедливо для атомов, чья скорость превышает  $v_r$ , величину порядка 1 см/с для большинства атомов. Это эквивалентно условию  $p > 1$ .

Движение центра масс атома описывают два последних уравнения в (2). Сила тяжести  $\kappa$  ускоряет атомы. Градиентная сила  $2(AB + \alpha\beta) \sin x$  меняется по мере движения атома сквозь решетку. Эти изменения обусловлены не только градиентом поля стоячей волны, но и поведением компоненты электрического дипольного момента атома  $u \equiv 2(AB + \alpha\beta)$ , которая зависит от остальных переменных в (2).

Численное решение (2) осуществляют методом стохастической волновой функции, доказавшим свою эффективность во множестве задач [19, 20]. Время интегрирования разбивают на большое число малых интервалов  $\Delta\tau = 10^{-5}$ . Генератор случайных чисел выбирает число  $\varepsilon_1$  из интервала  $[0, 1]$ . В конце первого интервала времени  $\tau = \tau_1$  вычисляется вероятность спонтанного излучения (СИ) атома по формуле  $s_1 = \gamma\Delta\tau|a_{\tau_1}|^2/(|a_{\tau_1}|^2 + |b_{\tau_1}|^2)$ . Далее в зависимости от соотношения чисел  $\varepsilon_1$  и  $s_1$  возможны два случая. Первый. Если  $s_1 < \varepsilon_1$ , то продолжается интегрирование (2) на следующем временном интервале. Так как когерентная эволюция происходит с уменьшением нормы волновой функции, то вектор состояния нужно перенормировать сразу по окончании первого интервала при  $\tau = \tau_1^+$ :  $a_{\tau_1^+} = a_{\tau_1}/\sqrt{|a_{\tau_1}|^2 + |b_{\tau_1}|^2}$ ,  $b_{\tau_1^+} = b_{\tau_1}/\sqrt{|a_{\tau_1}|^2 + |b_{\tau_1}|^2}$ . Эта когерентная эволюция с уменьшением нормы волновой функции описывает непрерывную релаксацию атомного дипольного момента. Второй. Если  $s_1 \geq \varepsilon_1$ , то происходит СИ, и атом оказывается в основном состоянии в момент времени  $\tau = \tau_1$ :  $A_{\tau_1} = \alpha_{\tau_1} = \beta_{\tau_1} = 0$ ,  $B_{\tau_1} = 1$ , а его импульс скачком меняется:  $p_{\tau_1} = p_{\tau_1^-} + l$ , где  $l$  – случайное число из интервала  $[-1, 1]$ , описывающее изменение атомного импульса в результате СИ (эффект отдачи). Процедура повторяется на следующих временных интервалах.

В численных экспериментах  $N$  двухуровневых атомов (с гауссовым начальным распределением  $\rho(x, p) = (2\pi\sigma_x\sigma_p)^{-1} \exp[-|x-x_0|^2/2\sigma_x^2 - |p-p_0|^2/2\sigma_p^2]$ ,  $x_0 = 0$ ,  $p_0 = -10$ ,  $\sigma_x = \sigma_p = 2$ ) приготавливаются

в основном состоянии. Лазер включается в момент времени  $\tau = 0$ . Вычисляются положения и импульсы всех атомов в некоторый фиксированный момент времени. Выбраны следующие значения управляющих параметров:  $\gamma = 5 \cdot 10^{-2}$ ,  $\omega_r = 10^{-3}$  и  $\kappa = 10^{-3}$ , соответствующие обычным атомам в лазерном поле оптического диапазона с частотой Раби около 10 МГц, с характерным временем СИ порядка  $10^{-8}$  с и частотой отдачи примерно 10 кГц.

Сразу после включения лазера большая часть атомов начального распределения находится в двух первых ямах оптического потенциала относительно  $x = 0$ . Их последующее движение существенно зависит от расстройки резонанса  $\Delta$ . Особая ситуация возникает при сравнительно малых  $\Delta$ , когда нелинейное взаимодействие электронных и механических степеней свободы атома порождает сложную динамику, позволяя части атомов начального облака продвигаться против силы тяжести на значительные расстояния.

Рис. 1 иллюстрирует светоиндуцированный атомный лифт, перемещающий атомы против действия силы тяжести. Показано распределение  $10^3$  атомов

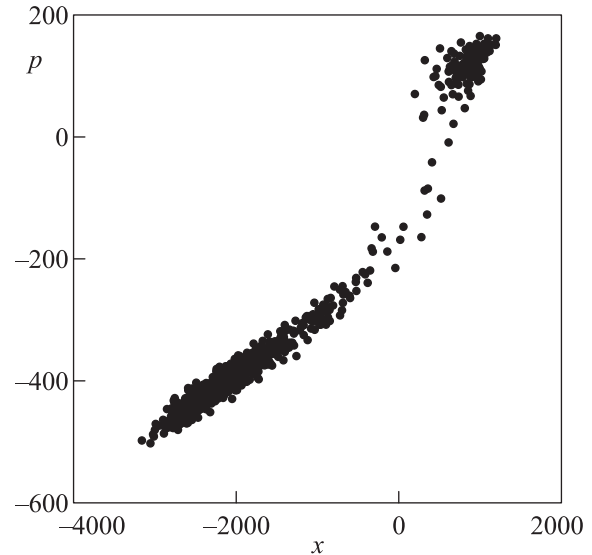


Рис. 1. Светоиндуцированный атомный лифт в жесткой вертикальной оптической решетке. Показано распределение  $10^3$  атомов на фазовой плоскости  $x-p$  в момент времени  $\tau = 10^4$ . Параметры:  $\kappa = 10^{-3}$ ,  $\Delta = 0.15$ ,  $\gamma = 5 \cdot 10^{-2}$ ,  $\omega_r = 10^{-3}$ . Точки с  $x > 0$  и  $p > 0$  – атомы, изменившие направление своего движения на противоположное в результате нелинейного взаимодействия со стоячей световой волной и движущиеся против действия силы тяжести

на плоскости  $x-p$  в момент времени  $\tau = 10^4$ . Точки на графике с положительными значениями  $x$  и  $p$  со-

ответствуют атомам, изменившим направление своего движения в результате взаимодействия со стоячей световой волной и поднявшимся вверх по решетке. Из гистограммы распределения  $2 \cdot 10^4$  атомов по координатам (рис. 2) следует, что к моменту време-

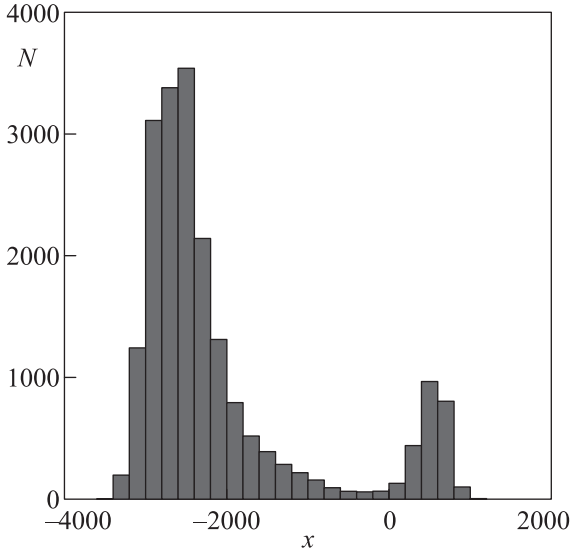


Рис. 2. Гистограмма распределения  $2 \cdot 10^4$  атомов по координатам в момент времени  $\tau = 10^4$

ни  $\tau = 10^4$  примерно 12.5% атомов из начального облака “поднялись на лифте”.

В [12] показано, что в отсутствие потерь ( $\gamma = 0$ ) при малых расстройках компонента вектора Блоха  $u$  и, следовательно, градиентная сила в 1D оптической решетке без какой-либо модуляции скачкообразно изменяется при пересечении узлов стоячей волны. Такое поведение приближенно описывается стохастическим отображением

$$u_m = \sin(\Theta \sin \phi_m + \arcsin u_{m-1}), \quad (3)$$

где  $u_m$  — значение  $u$  сразу после пересечения  $m$ -го узла,  $\Theta \equiv |\Delta| \sqrt{\pi/\omega_r p_{\text{node}}}$  — угловая амплитуда “скачка”,  $p_{\text{node}} = \sqrt{2H/\omega_r}$  — значение атомного импульса при пересечении узлов,  $H$  — нормированная энергия атома,  $\phi_m$  — случайные фазы из интервала  $[0; 2\pi]$ . Такие “скачки” при определенных условиях порождают хаотическое движение атомов в абсолютно детерминированной оптической решетке, напоминающее случайное блуждание.

Из выражения для энергии атома

$$H \equiv \frac{\omega_r}{2} p^2 + \kappa x - u \cos x - \frac{\Delta}{2} z, \quad (4)$$

где  $z \equiv |a|^2 - |b|^2$  — инверсия заселенности атома, найдем условие, при котором атом в процессе когерентной эволюции продолжит падать после

пересечения узла стоячей волны с отрицательным значением импульса  $p$  или изменит знак  $p$ . Результат зависит от четности числа пересечений  $m$ . Атом продолжит падение, если  $(-1)^{m+1} u_m < H$ . Атом изменит направление движения на противоположное при  $(-1)^{m+1} u_m > H$ . При точном равенстве  $(-1)^{m+1} u_m = H$  движение является сепаратрисоподобным. Атомный лифт возможен только в режиме хаотического блуждания, а именно когда нормированная энергия атома находится в диапазоне  $0 < H < 1$ . При  $H < 0$  атомы не достигают даже ближайшего узла стоячей волны и захватываются ямой оптического потенциала, а при  $H > 1$  значения  $u$  всегда соответствуют падению атомов. Итак, если  $|u| < H$ , то атомы продолжают движение в том же направлении, а если  $|u| > H$ , то в зависимости от знака  $\cos x$  на данном промежутке времени они либо продолжают движение в том же направлении, либо поменяют его на противоположное.

Типичная эволюция компоненты вектора Блоха атома  $u$  в режиме хаотического блуждания показана на рис. 3а. Когерентная эволюция со “скачками”  $u$  при пересечении узлов стоячей волны прерывается актами СИ в случайные моменты времени. Этот атом вначале трижды меняет направление своего движения, а затем устремляется вверх по оптической решетке с хаотическими изменениями импульса (рис. 3б).

Для сравнения на рис. 4 показано поведение атомов вдали от резонанса с полем стоячей волны и при точном резонансе. Вдали от резонанса ( $|\Delta| \gtrsim 1$ ) атомы неэффективно поглощают фотоны. Большая их часть осциллирует в ямах оптического потенциала, меняя знак импульса (эффект левитации), а меньшая часть медленно падает (рис. 4а). При точном резонансе ( $\Delta = 0$ ) отсутствует оптический потенциал, и атомы просто падают под действием силы тяжести (рис. 4б).

Хаотическое блуждание атомов в детерминированной оптической решетке является проявлением динамического хаоса, количественная мера которого — положительное значение максимального показателя Ляпунова  $\Lambda$ , являющегося средней скоростью экспоненциально быстрого расхождения изначально близких траекторий атомов. Проведенный расчет этой величины для уравнений движения (2) в отсутствии СИ по методу [21] дает положительные значения  $\Lambda$  в диапазоне  $|\Delta| < 0.5$  при выбранных значениях прочих параметров. Таким образом, хаотическое блуждание атомов и, следовательно, светоиндуцированный атомный лифт возможны только в этом диапазоне расстройки резонанса.

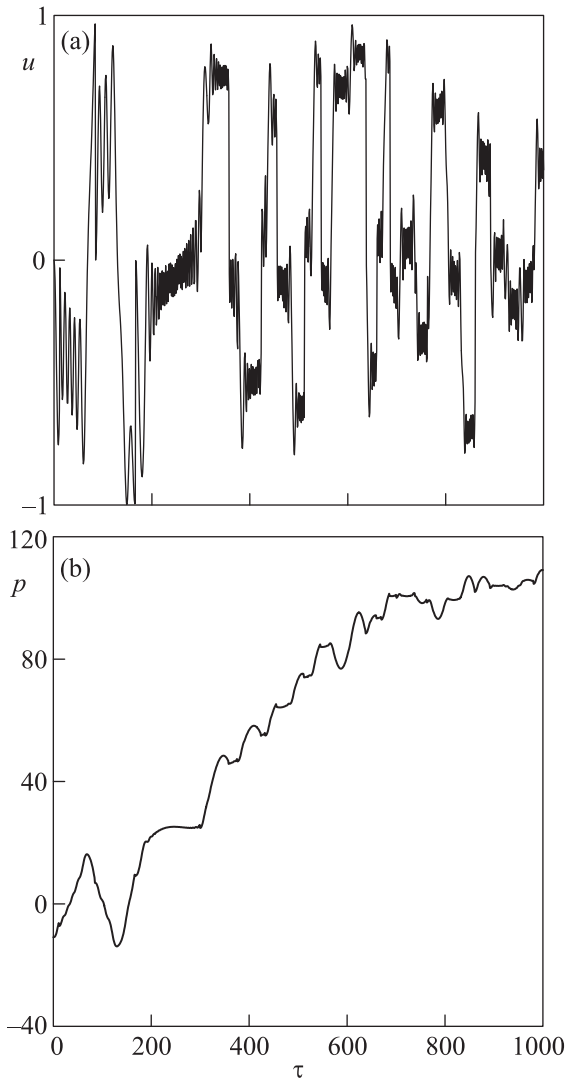


Рис. 3. (а) – Типичная эволюция компоненты электрического дипольного момента атома  $u$  в стоячей световой волне в режиме хаотического блуждания. Когерентная эволюция со “скачками” при пересечении узлов стоячей волны прерывается актами СИ в случайные моменты времени. (б) – Хаотическое изменение импульса того же атома с течением времени

Детектирование атомов с положительными значениями импульса в реальном эксперименте означает не просто реализацию светоиндуцированного атомного лифта, а проявление эффекта хаотического блуждания атомов в жесткой оптической решетке, поскольку именно специфическое нелинейное взаимодействие электронных и механических степеней свободы атома вблизи резонанса является единственной причиной транспорта части атомов вверх по решетке. Варьируя фактически только напряженность электрической компоненты лазерного поля, входя-

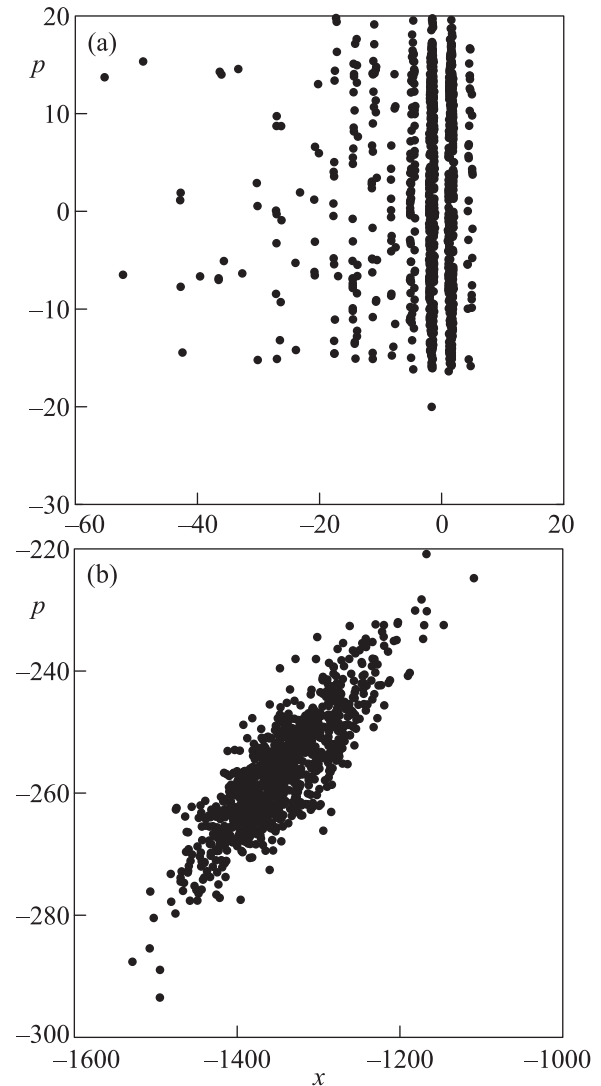


Рис. 4. Распределение атомов на фазовой плоскости (а) вдали от резонанса ( $\Delta = 1$ ) и (б) при точном резонансе  $\Delta = 0$ . Остальные параметры и условия как на рис. 1

щей в определение частоты Раби  $\Omega$ , можно кардинально изменять режимы движения атомов, заставляя их “подниматься на лифте” или левитировать.

Автор признателен Л.Е. Конькову за помощь в расчетах. Работа выполнена по госбюджетной тематике ТОИ ДВО РАН (проект № 01201363045).

1. A. P. Kazantsev, G. I. Surdutovich, and V. P. Yakovlev, *Mechanical Action of Light on Atoms*, World Scientific, Singapore (1990).
2. V. G. Minogin and V. G. Letokhov, *Laser Light Pressure on Atoms*, Gordon and Breach, N.Y. (1987).
3. V. V. Ivanov, A. Alberti, M. Schioppo, G. Ferrari, M. Artoni, M. L. Chiofalo, and G. M. Tino, *Phys. Rev. Lett.* **100**, 043602 (2008).

4. A. Hilico, C. Solaro, M.-K. Zhou, M. Lopez, and F. Pereira dos Santos, *Phys. Rev. A* **91**, 053616 (2015).
5. F.L. Moore, J.C. Robinson, C. Bharucha, P.E. Williams, and M.G. Raizen, *Phys. Rev. Lett.* **73**, 2974 (1994).
6. F.L. Moore, J.C. Robinson, C.F. Bharucha, B. Sundaram, and M.G. Raizen, *Phys. Rev. Lett.* **75**, 4598 (1995).
7. D.A. Steck, W.H. Oskay, and M. Raizen, *Science* **293**, 274 (2001).
8. W.K. Hensinger, N.R. Heckenberg, G.J. Milburn, and H. Rubinsztein-Dunlop, *J. Opt. B: Quantum Semiclass. Opt.* **5**, 83 (2003).
9. L.E. Kon'kov and S.V. Prants, *JETP Lett.* **65**, 833 (1997).
10. S.V. Prants, L.E. Kon'kov, and I.L. Kirilyuk, *Phys. Rev. E* **60**, 335 (1999).
11. S.V. Prants and V.Yu. Sirotkin, *Phys. Rev. A* **64**, 033412 (2001).
12. V.Yu. Argonov and S.V. Prants, *Phys. Rev. A* **75**, 063428 (2007).
13. V.Yu. Argonov and S.V. Prants, *Phys. Rev. A* **78**, 043413 (2008).
14. S.V. Prants, *J. Exp. Theor. Phys.* **109**, 751 (2009).
15. V.Yu. Argonov and S.V. Prants, *J. Exp. Theor. Phys.* **96**, 832 (2003).
16. S.V. Prants, M. Yu. Uleysky, and V. Yu. Argonov, *Phys. Rev. A* **73**, 023807 (2006).
17. E. Horsley, S. Koppell, and L.E. Reichl, *Phys. Rev. E* **89**, 012917 (2014).
18. Y. Boretz and L.E. Reichl, *Phys. Rev. E* **91**, 042901 (2015).
19. H. Carmichael, *An Open Systems Approach to Quantum Optics*, Springer-Verlag, Berlin (1993).
20. K. Molmer, Y. Castin, and J. Dalibard, *J. Opt. Soc. Am. B* **10**, 524 (1993).
21. L.E. Kon'kov and S.V. Prants, *J. Math. Phys.* **37**, 1204 (1996).